

УДК 621.316.722

СТАТИЧЕСКИЕ ХАРАКТЕРИСТИКИ
АВТОТРАНСФОРМАТОРНОГО ЭЛЕКТРОМАШИННОГО
РЕГУЛЯТОРА НАПРЯЖЕНИЯ ПЕРЕМЕННОГО ТОКА

Ю. Б. ВОЛЫНСКИЙ

(Представлена научным семинаром физико-технического факультета)

В общем случае схема автотрансформаторного регулятора напряжения переменного тока состоит (рис. 1) из повышающего автотрансформатора 1, выпрямительной мостовой схемы 2 и электромашинного усилителя 3, управляемого цепью обратной связи.

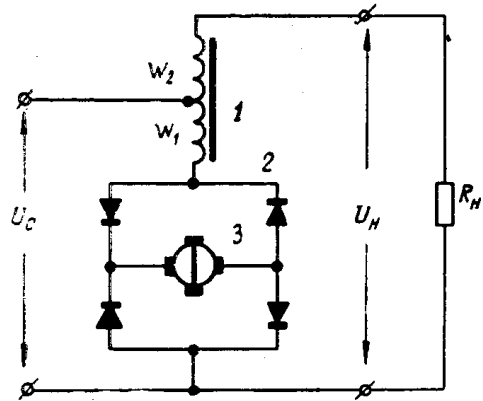


Рис. 1. Автотрансформаторный электромашинный регулятор напряжения переменного тока

Если индуктивность последовательной обмотки автотрансформатора 1 с числом витков W_2 обозначить через L_2 , то, пренебрегая потерями в обмотках и в магнитопроводе и потоками рассеяния, можно записать

$$U_c = i_0 R_0 + K^2 L_2 \frac{di_0}{dt} - KL_2 \frac{di_h}{dt}, \quad (1)$$

$$U_c = L_2 \frac{di_h}{dt} + i_h R_h - KL_2 \frac{di_0}{dt}, \quad (2)$$

где U_c — напряжение сети;

i_0 — ток исполнительного органа;

i_h — ток нагрузки;

R_0 — эквивалентное сопротивление исполнительного органа;

R_h — сопротивление нагрузки.

Используя операторную форму записи [1], имеем из (1, 2)

$$U_h(p) = \frac{U_c(p) R_h [R_0 + pL_2 K(1+K)]}{R_0 R_h + pL_2 (K^2 R_h + R_0)}, \quad (3)$$

$$U_o(p) = \frac{U_c(p) R_0 [R_h + pL_2 (1+K)]}{R_0 R_h + pL_2 (K^2 R_h + R_0)}, \quad (4)$$

где U_h — напряжение на нагрузке;

U_o — напряжение на исполнительном органе.

Принцип действия электромашинного исполнительного органа основан на том, что при работе выпрямителя на нагрузку, имеющую против-

воэлектродвижущую силу, ток будет существовать только в том случае, если напряжение, приложенное к аноду вентиля, имеет положительный знак по отношению к его катоду, т. е. работа выпрямителя происходит с отсечкой тока [2]. Угол отсечки тока определяется величиной противоэлектродвижущей силы $E_{\text{эм}}\mu$, поэтому меняя величину противоэлектродвижущей силы $E_{\text{эм}}\mu$, можно осуществлять изменения эффективного значения тока i_0 , что соответствует изменению величины некоторого эквивалентного сопротивления R_0 .

При $E_{\text{эм}}\mu = 0$, согласно (3, 4), имеем

$$U_n = U_{mc} \frac{1+K}{K} \sin \omega t, \quad (5)$$

$$i_0 = U_{mc} \frac{\sqrt{1+b^2(1+K^2)}}{R_n b K^2} \sin \left[\omega t + \arctg \frac{1}{b(1+K)} \right], \quad (6)$$

где

$$b = \frac{\omega L_2}{R_n}.$$

Если в момент перехода через нулевое значение сетевого напряжения включить противоэлектродвижущую силу $E_{\text{эм}}\mu$, то при $\omega t > 0$ работа выпрямительного моста происходит с отсечкой тока, и ток i_0 будет существовать только при условии $U_0 - E_{\text{эм}}\mu > 0$. При $E_{\text{эм}}\mu > U_0$

$$U_n = U_{mc} \left[\frac{b}{1+b^2} l^{-\frac{\omega t}{b}} + \frac{1}{\sqrt{1+b^2}} \sin (\omega t - \arctg b) \right], \quad (7)$$

$$U_0 = U_{mc} \left\{ \sqrt{\frac{1+b^2(1+K)^2}{1+b^2}} \sin \left[\omega t + \arctg \frac{Kb}{1+b^2(1+K)} \right] - \frac{Kb}{1+b^2} l^{-\frac{\omega t}{b}} \right\}. \quad (8)$$

Момент возникновения тока i_0 определяется условием

$$\begin{aligned} \omega t_{k1} = \arcsin \left\{ \frac{E_{\text{эм}}\mu}{U_{mc}} \sqrt{\frac{1+b^2}{1+b^2(1+K)^2}} + \right. \\ \left. + \frac{Kb}{\sqrt{(1+b^2)[1+b^2(1+K)^2]}} \left\{ -\arctg \frac{Kb}{1+b^2(1+K)} \right. \right\}. \end{aligned} \quad (9)$$

При $\omega t > \omega t_{k1}$, пренебрегая потерями в цепи якоря ЭМУ, имеем

$$U_n = U_n(\omega t_{k1}) - \frac{U_{mc}(1+K)}{K} \sin \omega t_{k1} + U_{mc} \frac{(1+K)}{K} \sin \omega t, \quad (10)$$

где $U_n(\omega t_{k1})$ — напряжение на нагрузке в момент времени ωt_{k1} , определенное согласно выражению (7).

Ток i_0 отстает по фазе от напряжения U_n на угол

$$\varphi_0 = \arctg \frac{1}{b(1+K)}$$

и становится равным нулю в момент времени

$$\begin{aligned} \omega t_{k2} = \pi - \arcsin \left[\sin \omega t_{k1} - \frac{U_n(\omega t_{k1})}{U_{mc}} \cdot \frac{K}{1+K} \right] + \\ + \arctg \frac{1}{b(1+K)}. \end{aligned} \quad (11)$$

В интервале $\omega t > \omega t_{k_2}$

$$U_n \equiv \left[U_n(\omega t_{k_2}) - \frac{U_{mc}}{\sqrt{1+b^2}} \sin(\omega t_{k_2} - \arctg b) \right] t^{-\frac{\omega(t-t_{k_2})}{b}} + \frac{U_{mc}}{\sqrt{1+b^2}} \sin(\omega t - \arctg b), \quad (12)$$

$$U_0 = U_{mc} \sqrt{\frac{1+b^2(1+\kappa)^2}{1+b^2}} \sin \left[\omega t + \arctg \frac{\kappa b}{1+b^2(1+K)} \right] - K \left[U_n(\omega t_{k_2}) - \frac{U_{mc}}{\sqrt{1+b^2}} \sin(\omega t_{k_2} - \arctg b) \right] t^{-\frac{\omega(t-t_{k_2})}{b}}. \quad (13)$$

Следующий момент появления тока $i_0 (\omega t = \omega t_{k_3})$ имеет место при $U_0 = -E_{\text{эм}}$. При $\omega t > \omega t_{k_3}$ процесс протекает так же, как и в первом случае при положительном полупериоде питающего напряжения. Квазиустановившийся режим имеет место тогда, когда $\omega t_{kn+2} = \omega t_{k_n} + \pi$, где n — целое число. Для случая $b = 2-5$ длительность переходного процесса не превышает 3—6 периодов питающего напряжения.

В момент перехода тока i_0 через нулевое значение напряжение U_n в большинстве случаев много меньше максимального мгновенного значения напряжения на нагрузке $\frac{1+K}{K} U_{mc}$, поэтому можно

допустить, что при $i_0 = 0$ $U_n \approx 0$. В этом случае для рассматриваемого устройства имеем соотношения, аналогичные (3, 4),

$$U_c(p) = i_0(p) p L_2 K^2 - i_n(p) p L_2 K + E_{\text{эм}}, \quad (14)$$

$$U_c(p) = i_n(p) R_n + i_n(p) p L_2 - i_0(p) p L_2 K, \quad (15)$$

поэтому в квазиустановившемся режиме напряжение на нагрузке будет существовать только во временном интервале $\omega t_{k_1} < \omega t < \pi - \omega t_k$ и определяться выражением

$$U_n = \frac{1+K}{K} U_{mc} \sin \omega t - \frac{E_{\text{эм}}}{K}. \quad (16)$$

Значения ωt_{k_1} определяются для различных из (16) при $U_n = 0$. Зависимости $\omega t_{k_1} = f\left(\frac{E_{\text{эм}}}{U_{mc}}\right)$ при различных значениях K приведены на рис. 2 в виде пунктирных линий. На этом же рисунке в виде сплошных линий изображены кривые, показывающие зависимость относительного значения напряжения на нагрузке от отношения $\frac{U_{dn}}{U_{mc}} = f\left(\frac{E_{\text{эм}}}{U_{mc}}\right)$. Действующее значение напряжения на нагрузке равно

$$U_{dn} = \frac{U_{mc}(1+K)}{KV\pi} \sqrt{\frac{\pi}{2} - \omega t_{k_1} - \frac{3}{2} \sin 2\omega t_{k_1} + (\pi - 2\omega t_{k_1}) \sin^2 \omega t_{k_1}}. \quad (17)$$

Периодическая нечетная функция вида (16) удовлетворяет условиям Дирихле и может быть разложена в неполный ряд Фурье по синусам кратных дуг. Амплитуды гармоник ряда Фурье равны

$$B_{nm} = \frac{1}{\pi} U_{mc} \frac{1+K}{K} \left\{ \frac{\sin [(n-1)(\pi - \omega t_{k_1})]}{n-1} - \frac{\sin [(n+1)(\pi - \omega t_{k_1})]}{n+1} + \frac{\sin (n+1)\omega t_{k_1}}{n+1} - \frac{\sin (n-1)\omega t_{k_1}}{n-1} \right\}. \quad (18)$$

Из (18) амплитуда первой гармоники

$$B_{1m} = \frac{(1+K)}{K\pi} U_{mc} [\pi - 2\omega t_{k_1} + \sin 2\omega t_{k_1}], \quad (19)$$

амплитуды четных гармоник равны нулю, а амплитуды нечетных высших гармоник определяются выражением

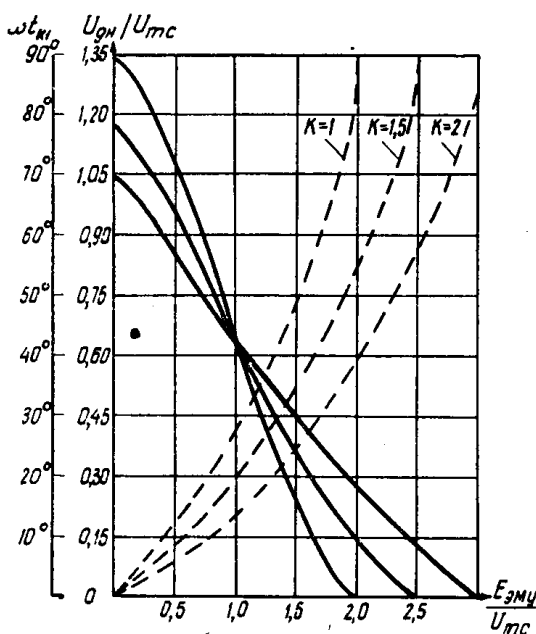


Рис. 2. Зависимости $\omega t_{k_1} = f\left(\frac{E_{\text{эму}}}{U_{mc}}\right)$ и $\frac{U_{\text{дн}}}{U_{mc}} = f\left(\frac{E_{\text{эму}}}{U_{mc}}\right)$ при различных значениях коэффициента K

$$B_{nm} = \frac{2}{\pi} U_{mc} \frac{1+K}{K} \times \left[\frac{\sin (n+1)\omega t_{k_1}}{n+1} - \frac{\sin (n-1)\omega t_{k_1}}{n-1} \right], \quad n = 3, 5, 7\dots \quad (20)$$

Зависимости коэффициента гармоник K_f выходного напряжения от отношения $\frac{E_{\text{эму}}}{U_{mc}}$ при различных значениях коэффициента K представлены на рис. 3.

Выводы

1. Применение автотрансформаторного регулятора напряжения переменного тока с электромашинным исполнительным органом позволяет изменять в 2,5—3 раза действующее значение напряжения на нагрузке.

2. При изменении выходного напряжения регулятора в диапазоне 2—2,5 раза коэффициент гармоник выходного напряжения изменяется не более чем на 15—20%.

ЛИТЕРАТУРА

1. М. И. Конторович. Операционное исчисление и процессы в электрических цепях. М., «Наука», 1964.

2. В. Н. Аксенов. Выпрямители и трансформаторные подстанции. М., Связьиздат, 1961.

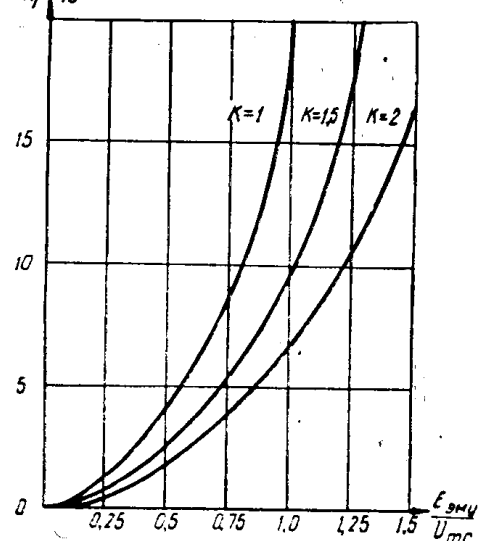


Рис. 3. Зависимость коэффициента гармоник K_f от $\frac{E_{\text{эму}}}{U_{mc}}$ при различных значениях коэффициента K